

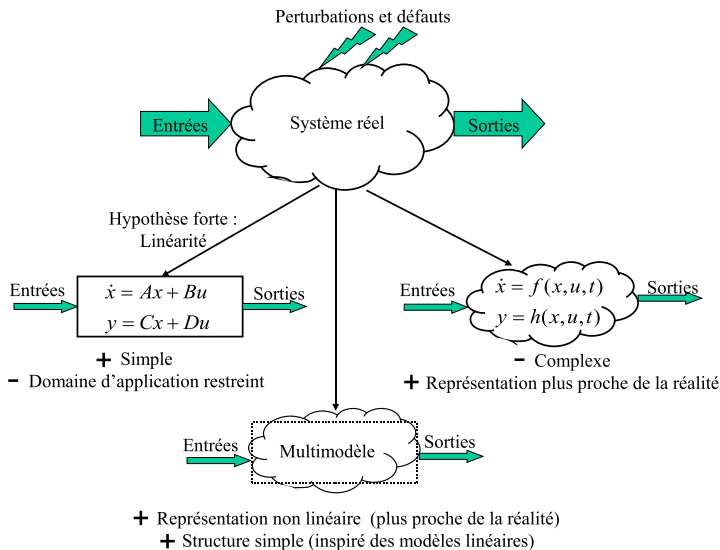
Diagnostic des systèmes non linéaires par une approche multimodèle

Dalil Ichalal, Benoît Marx, José Ragot et Didier Maquin

Réunion du Groupe de Travail S3 Sûreté-Surveillance-Supervision
5 décembre 2008



Nancy-Université
INPL



- 1 Sur l'approche multimodèle
 - Modèle de Takagi-Sugeno (T-S)
 - Modèle de Takagi-Sugeno à variables de décision non mesurables (VDNM)
- 2 Estimation d'état basée sur un modèle T-S à VDNM
 - Première approche
 - Deuxième approche
- 3 Estimation d'état et d'entrées inconnues
 - Observateur Proportionnel Intégral (PI)
- 4 Diagnostic
 - Détection et localisation des défauts affectant le système
- 5 Conclusions

- 1 Sur l'approche multimodèle
 - Modèle de Takagi-Sugeno (T-S)
 - Modèle de Takagi-Sugeno à variables de décision non mesurables (VDNM)

- 2 Estimation d'état basée sur un modèle T-S à VDNM
 - Première approche
 - Deuxième approche

- 3 Estimation d'état et d'entrées inconnues
 - Observateur Proportionnel Intégral (PI)

- 4 Diagnostic
 - Détection et localisation des défauts affectant le système

- 5 Conclusions

- 1 Sur l'approche multimodèle
 - Modèle de Takagi-Sugeno (T-S)
 - Modèle de Takagi-Sugeno à variables de décision non mesurables (VDNM)

- 2 Estimation d'état basée sur un modèle T-S à VDNM
 - Première approche
 - Deuxième approche

- 3 Estimation d'état et d'entrées inconnues
 - Observateur Proportionnel Intégral (PI)

- 4 Diagnostic
 - Détection et localisation des défauts affectant le système

- 5 Conclusions

- 1 Sur l'approche multimodèle
 - Modèle de Takagi-Sugeno (T-S)
 - Modèle de Takagi-Sugeno à variables de décision non mesurables (VDNM)

- 2 Estimation d'état basée sur un modèle T-S à VDNM
 - Première approche
 - Deuxième approche

- 3 Estimation d'état et d'entrées inconnues
 - Observateur Proportionnel Intégral (PI)

- 4 Diagnostic
 - Détection et localisation des défauts affectant le système

- 5 Conclusions

- 1 Sur l'approche multimodèle
 - Modèle de Takagi-Sugeno (T-S)
 - Modèle de Takagi-Sugeno à variables de décision non mesurables (VDNM)

- 2 Estimation d'état basée sur un modèle T-S à VDNM
 - Première approche
 - Deuxième approche

- 3 Estimation d'état et d'entrées inconnues
 - Observateur Proportionnel Intégral (PI)

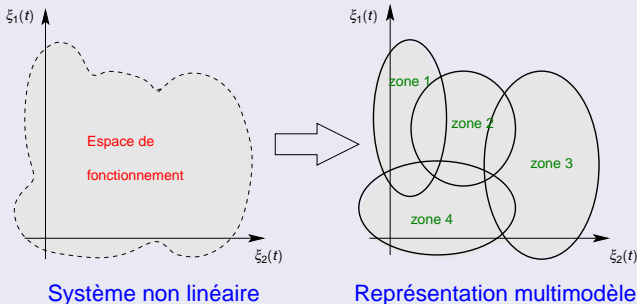
- 4 Diagnostic
 - Détection et localisation des défauts affectant le système

- 5 Conclusions

- 1 Sur l'approche multimodèle
 - Modèle de Takagi-Sugeno (T-S)
 - Modèle de Takagi-Sugeno à variables de décision non mesurables (VDNM)
- 2 Estimation d'état basée sur un modèle T-S à VDNM
 - Première approche
 - Deuxième approche
- 3 Estimation d'état et d'entrées inconnues
 - Observateur Proportionnel Intégral (PI)
- 4 Diagnostic
 - Détection et localisation des défauts affectant le système
- 5 Conclusions

Principe de l'approche multimodèle

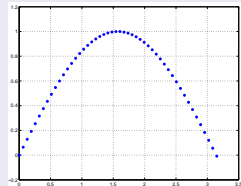
- ▶ **Décomposition** de l'espace de fonctionnement en zones de fonctionnement
- ▶ Un **sous-modèle** caractérise le système dans chaque zone de fonctionnement
- ▶ La contribution de chaque sous-modèle est quantifiée par une **fonction de pondération**



- Multimodèle = ensemble de sous-modèles agrégés par un mécanisme d'interpolation

Comportement non linéaire

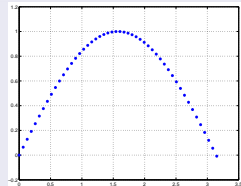
- ▶ Cas statique
- ▶ $y(x) = \sin(x)$
- ▶ $x \in [0, 3.2]$



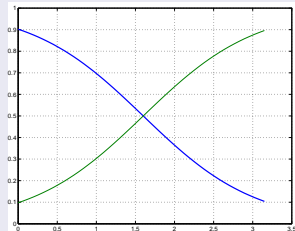
Représentation par un multimodèle

Comportement non linéaire

- ▶ Cas statique
- ▶ $y(x) = \sin(x)$
- ▶ $x \in [0, 3.2]$

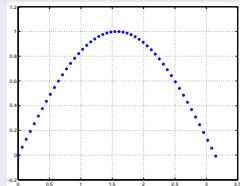


Représentation par un multimodèle

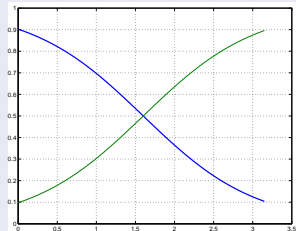
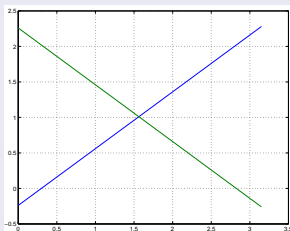
Fonctions de pondération : $\mu_i(x)$ 

Comportement non linéaire

- ▶ Cas statique
- ▶ $y(x) = \sin(x)$
- ▶ $x \in [0, 3.2]$

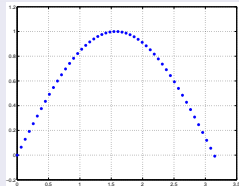


Représentation par un multimodèle

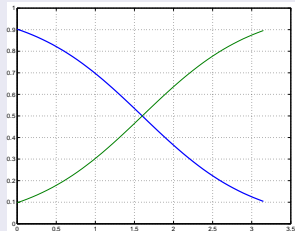
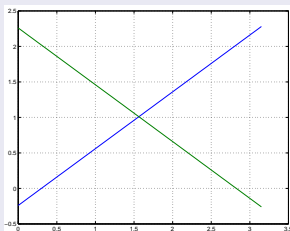
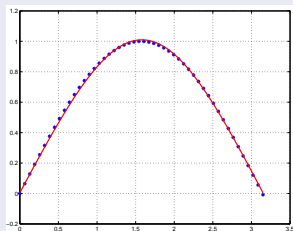
Fonctions de pondération : $\mu_j(x)$ Sous-modèles : $f_j(x)$ 

Comportement non linéaire

- ▶ Cas statique
- ▶ $y(x) = \sin(x)$
- ▶ $x \in [0, 3.2]$



Représentation par un multimodèle

Fonctions de pondération : $\mu_j(x)$ Sous-modèles : $f_j(x)$  $\hat{y}(x) = \mu_1(x)f_1(x) + \mu_2(x)f_2(x)$ 

Structure classique

Modèle de Takagi-Sugeno :

$$\begin{cases} \dot{x}(t) &= \left\{ \sum_{i=1}^r \mu_i(\xi(t)) A_i \right\} x(t) + \left\{ \sum_{i=1}^r \mu_i(\xi(t)) B_i \right\} u(t) \\ y(t) &= \left\{ \sum_{i=1}^r \mu_i(\xi(t)) C_i \right\} x(t) \end{cases}$$

$$\sum_{i=1}^r \mu_i(\xi(t)) = 1 \quad \text{et} \quad 0 \leq \mu_i(\xi(t)) \leq 1 \quad \forall i \in 1, \dots, r \quad \forall t$$

Caractéristiques

Structure classique

Modèle de Takagi-Sugeno :

$$\begin{cases} \dot{x}(t) &= \left\{ \sum_{i=1}^r \mu_i(\xi(t)) A_i \right\} x(t) + \left\{ \sum_{i=1}^r \mu_i(\xi(t)) B_i \right\} u(t) \\ y(t) &= \left\{ \sum_{i=1}^r \mu_i(\xi(t)) C_i \right\} x(t) \end{cases}$$

$$\sum_{i=1}^r \mu_i(\xi(t)) = 1 \quad \text{et} \quad 0 \leq \mu_i(\xi(t)) \leq 1 \quad \forall i \in 1, \dots, r \quad \forall t$$

- ▶ $\xi(t)$ variable de décision
- ▶ $\mu_i(\xi(t))$ fonctions de pondération

Caractéristiques

Structure classique

Modèle de Takagi-Sugeno :

$$\begin{cases} \dot{x}(t) &= \left\{ \sum_{i=1}^r \mu_i(\xi(t)) A_i \right\} x(t) + \left\{ \sum_{i=1}^r \mu_i(\xi(t)) B_i \right\} u(t) \\ y(t) &= \left\{ \sum_{i=1}^r \mu_i(\xi(t)) C_i \right\} x(t) \end{cases}$$

$$\sum_{i=1}^r \mu_i(\xi(t)) = 1 \quad \text{et} \quad 0 \leq \mu_i(\xi(t)) \leq 1 \quad \forall i \in 1, \dots, r \quad \forall t$$

- ▶ $\xi(t)$ variable de décision
- ▶ $\mu_i(\xi(t))$ fonctions de pondération

Caractéristiques

- (i) Analogue à un modèle à paramètres variables dans le temps

Structure classique

Modèle de Takagi-Sugeno :

$$\begin{cases} \dot{x}(t) &= \left\{ \sum_{i=1}^r \mu_i(\xi(t)) A_i \right\} x(t) + \left\{ \sum_{i=1}^r \mu_i(\xi(t)) B_i \right\} u(t) \\ y(t) &= \left\{ \sum_{i=1}^r \mu_i(\xi(t)) C_i \right\} x(t) \end{cases}$$

$$\sum_{i=1}^r \mu_i(\xi(t)) = 1 \quad \text{et} \quad 0 \leq \mu_i(\xi(t)) \leq 1 \quad \forall i \in 1, \dots, r \quad \forall t$$

- ▶ $\xi(t)$ variable de décision
- ▶ $\mu_i(\xi(t))$ fonctions de pondération

Caractéristiques

- Analogue à un modèle à paramètres variables dans le temps
- La contribution de chaque modèle est quantifiée par $\mu_i(\xi(t))$

Intérêts des multimodèles

- ▶ Permet une représentation précise d'un système non linéaire (voir exacte)
- ▶ Epargne la recherche d'un modèle unique complexe
- ▶ Facilite l'extension de certains résultats théoriques du cas linéaire au cas non linéaire

$$\begin{cases} \dot{x}(t) &= \left\{ \sum_{i=1}^r \mu_i(x(t)) A_i \right\} x(t) + \left\{ \sum_{i=1}^r \mu_i(x(t)) B_i \right\} u(t) \\ y(t) &= \left\{ \sum_{i=1}^r \mu_i(x(t)) C_i \right\} x(t) \end{cases}$$

$$\begin{cases} \dot{x}(t) &= \left\{ \sum_{i=1}^r \mu_i(x(t)) A_i \right\} x(t) + \left\{ \sum_{i=1}^r \mu_i(x(t)) B_i \right\} u(t) \\ y(t) &= \left\{ \sum_{i=1}^r \mu_i(x(t)) C_i \right\} x(t) \end{cases}$$

- ▶ la variable de décision est l'état du système

$$\begin{cases} \ddot{x}(t) = x^3(t) + 2x(t) \\ z(t) = 2x(t) + 3\dot{x}(t) \\ y(t) = x(t) \end{cases}$$

$$\bar{x}(t) = [x(t) \quad \dot{x}(t)]^T$$

$$x(t) \in [-1 \quad 1]$$

La méthode de transformation par secteur non linéaire [Tanaka et al 1996], on a :

$$x^3(t) = \mu_1(x) \cdot 0 \cdot x(t) + \mu_2(x) \cdot 1 \cdot x(t)$$

$$\mu_1(x) + \mu_2(x) = 1$$

Les fonctions d'activation $\mu_1(x)$ et $\mu_2(x)$ sont données par

$$\begin{cases} \mu_1(x) = 1 - x^2(t) \\ \mu_2(x) = x^2(t) \end{cases}$$

$$\begin{cases} \dot{\bar{x}}(t) = \sum_{i=1}^r \mu_i(x(t)) (A_i \bar{x}(t)) \\ z(t) = \begin{bmatrix} 2 & 3 \end{bmatrix} \bar{x} \\ y(t) = \begin{bmatrix} 1 & 0 \end{bmatrix} \bar{x} \end{cases}$$

$$A_1 = \begin{bmatrix} 0 & 1 \\ 2 & 0 \end{bmatrix}, A_2 = \begin{bmatrix} 0 & 1 \\ 3 & 0 \end{bmatrix}$$

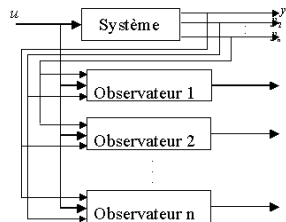
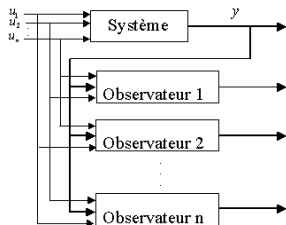
Conception d'observateur

$$\begin{cases} \dot{\hat{x}}(t) = \sum_{i=1}^n \mu_i(\xi(t)) (A_i \hat{x}(t) + B_i u(t) + G_i (y(t) - \hat{y}(t))) \\ \hat{y}(t) = \sum_{i=1}^n \mu_i(\xi(t)) (C_i \hat{x}(t) + D_i u(t)) \end{cases}$$

Objectif

Synthétiser des observateurs pour pouvoir comparer le fonctionnement réel du système à son fonctionnement sain.

$$r(t) = y(t) - \hat{y}(t)$$



Défauts actionneurs

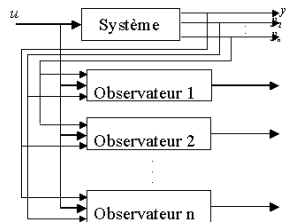
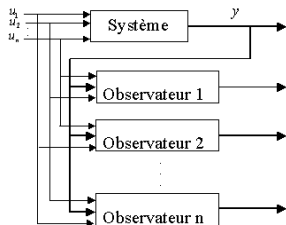
$$\xi(t) = y(t)$$

Défauts capteurs

$$\xi(t) = u(t)$$

$$\dot{x}(t) = \sum_{i=1}^n \mu_i(\xi(t)) (A_i x(t) + B_i u(t))$$

$$y(t) = \sum_{i=1}^n \mu_i(\xi(t)) (C_i x(t) + D_i u(t))$$



Défauts actionneurs

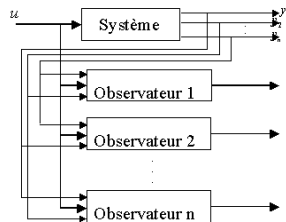
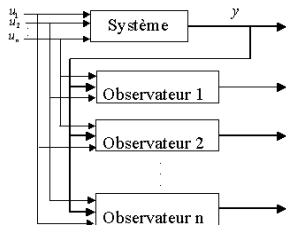
$$\xi(t) = y(t)$$

Défauts capteurs

$$\xi(t) = u(t)$$

$$\dot{x}(t) = \sum_{i=1}^n \mu_i(\xi(t)) (A_i x(t) + B_i u(t))$$

$$y(t) = \sum_{i=1}^n \mu_i(\xi(t)) (C_i x(t) + D_i u(t))$$



Défauts actionneurs

$$\xi(t) = y(t)$$

Défauts capteurs

$$\xi(t) = u(t)$$

$$\dot{x}(t) = \sum_{i=1}^n \mu_i(\xi(t)) (A_i x(t) + B_i u(t))$$

$$y(t) = \sum_{i=1}^n \mu_i(\xi(t)) (C_i x(t) + D_i u(t))$$

$$\begin{cases} \dot{x}(t) &= \left\{ \sum_{i=1}^r \mu_i(x(t)) A_i \right\} x(t) + \left\{ \sum_{i=1}^r \mu_i(x(t)) B_i \right\} u(t) \\ y(t) &= \left\{ \sum_{i=1}^r \mu_i(x(t)) C_i \right\} x(t) \end{cases}$$

- ▶ la variable de décision est l'état du système

$$\begin{cases} \dot{x}(t) &= \left\{ \sum_{i=1}^r \mu_i(x(t)) A_i \right\} x(t) + \left\{ \sum_{i=1}^r \mu_i(x(t)) B_i \right\} u(t) \\ y(t) &= \left\{ \sum_{i=1}^r \mu_i(x(t)) C_i \right\} x(t) \end{cases}$$

- ▶ la variable de décision est l'état du système

Interêts des modèles T-S à VDNM

- (i) Représentation exacte d'un modèle non linéaire

$$\begin{cases} \dot{x}(t) &= \left\{ \sum_{i=1}^r \mu_i(x(t)) A_i \right\} x(t) + \left\{ \sum_{i=1}^r \mu_i(x(t)) B_i \right\} u(t) \\ y(t) &= \left\{ \sum_{i=1}^r \mu_i(x(t)) C_i \right\} x(t) \end{cases}$$

- ▶ la variable de décision est l'état du système

Interêts des modèles T-S à VDNM

- (i) Représentation exacte d'un modèle non linéaire
- (ii) Représentation d'une classe plus large de systèmes non linéaires

$$\begin{cases} \dot{x}(t) &= \left\{ \sum_{i=1}^r \mu_i(x(t)) A_i \right\} x(t) + \left\{ \sum_{i=1}^r \mu_i(x(t)) B_i \right\} u(t) \\ y(t) &= \left\{ \sum_{i=1}^r \mu_i(x(t)) C_i \right\} x(t) \end{cases}$$

- ▶ la variable de décision est l'état du système

Interêts des modèles T-S à VDNM

- (i) Représentation exacte d'un modèle non linéaire
- (ii) Représentation d'une classe plus large de systèmes non linéaires
- (iii) Un seul multimodèle suffit pour la conception de bancs d'observateurs afin de localiser des défauts de capteurs et d'actionneurs

Objectifs généraux

- i Estimation d'état des modèles de Takagi-Sugeno à variables de décision non mesurables
- ii Estimation des entrées inconnues des modèles de Takagi-Sugeno à variables de décision non mesurables
- iii Utilisation des observateurs pour le diagnostic des systèmes non linéaires

Démarche utilisée

- ▶ Obtention d'un multimodèle suivant une démarche analytique (**Transformation par secteurs non linéaires**)
- ▶ **Extension** des outils d'estimation d'état LTI aux multimodèles (méthode de Lyapunov, LMIs, \mathcal{L}_2)
- ▶ Génération d'indicateurs de défauts (bancs d'observateurs, analyse des résidus)

Objectifs généraux

- i Estimation d'état des modèles de Takagi-Sugeno à variables de décision non mesurables
- ii Estimation des entrées inconnues des modèles de Takagi-Sugeno à variables de décision non mesurables
- iii Utilisation des observateurs pour le diagnostic des systèmes non linéaires

Démarche utilisée

- ▶ Obtention d'un multimodèle suivant une démarche analytique (Transformation par secteurs non linéaires)
- ▶ Extension des outils d'estimation d'état LTI aux multimodèles (méthode de Lyapunov, LMIs, \mathcal{L}_2)
- ▶ Génération d'indicateurs de défauts (bancs d'observateurs, analyse des résidus)

Objectifs généraux

- i Estimation d'état des modèles de Takagi-Sugeno à variables de décision non mesurables
- ii Estimation des entrées inconnues des modèles de Takagi-Sugeno à variables de décision non mesurables
- iii Utilisation des observateurs pour le diagnostic des systèmes non linéaires

Démarche utilisée

- ▶ Obtention d'un multimodèle suivant une démarche analytique ([Transformation par secteurs non linéaires](#))
- ▶ [Extension](#) des outils d'estimation d'état LTI aux multimodèles (méthode de Lyapunov, LMIs, \mathcal{L}_2)
- ▶ Génération d'indicateurs de défauts (bancs d'observateurs, analyse des résidus)

- 1 Sur l'approche multimodèle
 - Modèle de Takagi-Sugeno (T-S)
 - Modèle de Takagi-Sugeno à variables de décision non mesurables (VDNM)
- 2 Estimation d'état basée sur un modèle T-S à VDNM
 - Première approche
 - Deuxième approche
- 3 Estimation d'état et d'entrées inconnues
 - Observateur Proportionnel Intégral (PI)
- 4 Diagnostic
 - Détection et localisation des défauts affectant le système
- 5 Conclusions

Multimodèle

$$\dot{x} = \sum_{i=1}^r \mu_i(y) (A_i x + B_i u) \quad y = Cx$$

Multimodèle

$$\dot{x} = \sum_{i=1}^r \mu_i(y) (A_i x + B_i u) \quad y = Cx$$

Observateur

$$\begin{aligned} \dot{\hat{x}}(t) &= \sum_{i=1}^r \mu_i(y) (A_i \hat{x}(t) + B_i u(t) + L_i (y(t) - \hat{y}(t))) \\ \hat{y}(t) &= C \hat{x}(t) \end{aligned}$$

Multimodèle

$$\dot{x} = \sum_{i=1}^r \mu_i(y) (A_i x + B_i u) \quad y = Cx$$

Observateur

$$\begin{aligned} \dot{\hat{x}}(t) &= \sum_{i=1}^r \mu_i(y) (A_i \hat{x}(t) + B_i u(t) + L_i (y(t) - \hat{y}(t))) \\ \hat{y}(t) &= C \hat{x}(t) \end{aligned}$$

Erreur d'estimation d'état

$$e(t) = x(t) - \hat{x}(t)$$

$$\dot{e}(t) = \sum_{i=1}^r \mu_i(y) (A_i - L_i C) e(t)$$

$$(A_i - L_i C)^T P + P (A_i - L_i C) < 0, \quad i = 1, \dots, r$$

Multimodèle

$$\dot{x} = \sum_{i=1}^r \mu_i(y) (A_i x + B_i u) \quad y = Cx$$

Observateur

$$\begin{aligned} \dot{\hat{x}}(t) &= \sum_{i=1}^r \mu_i(y) (A_i \hat{x}(t) + B_i u(t) + L_i (y(t) - \hat{y}(t))) \\ \hat{y}(t) &= C \hat{x}(t) \end{aligned}$$

Erreur d'estimation d'état

$$e(t) = x(t) - \hat{x}(t)$$

$$\dot{e}(t) = \sum_{i=1}^r \mu_i(y) (A_i - L_i C) e(t)$$

$$(A_i - L_i C)^T P + P (A_i - L_i C) < 0, \quad i = 1, \dots, r$$

Multimodèle

$$\dot{x} = \sum_{i=1}^r \mu_i(y) (A_i x + B_i u) \quad y = Cx$$

Observateur

$$\begin{aligned} \dot{\hat{x}}(t) &= \sum_{i=1}^r \mu_i(y) (A_i \hat{x}(t) + B_i u(t) + L_i (y(t) - \hat{y}(t))) \\ \hat{y}(t) &= C \hat{x}(t) \end{aligned}$$

Erreur d'estimation d'état

$$e(t) = x(t) - \hat{x}(t)$$

$$\dot{e}(t) = \sum_{i=1}^r \mu_i(y) (A_i - L_i C) e(t)$$

$$(A_i - L_i C)^T P + P (A_i - L_i C) < 0, \quad i = 1, \dots, r$$

Multimodèle

$$\dot{x} = \sum_{i=1}^r \mu_i(x) (A_i x + B_i u) \quad y = Cx$$

Multimodèle

$$\dot{x} = \sum_{i=1}^r \mu_i(x) (A_i x + B_i u) \quad y = Cx$$

Observateur

$$\begin{aligned} \dot{\hat{x}}(t) &= \sum_{i=1}^r \mu_i(\hat{x}) (A_i \hat{x}(t) + B_i u(t) + L_i (y(t) - \hat{y}(t))) \\ \hat{y}(t) &= C \hat{x}(t) \end{aligned}$$

Multimodèle

$$\dot{x} = \sum_{i=1}^r \mu_i(x) (A_i x + B_i u) \quad y = Cx$$

Observateur

$$\begin{aligned} \dot{\hat{x}}(t) &= \sum_{i=1}^r \mu_i(\hat{x}) (A_i \hat{x}(t) + B_i u(t) + L_i (y(t) - \hat{y}(t))) \\ \hat{y}(t) &= C \hat{x}(t) \end{aligned}$$

Erreur d'estimation d'état

$$e(t) = x(t) - \hat{x}(t)$$

$$\dot{e}(t) = \sum_{i=1}^r \mu_i(x) (A_i x + B_i u) - \sum_{i=1}^r \mu_i(\hat{x}) (A_i \hat{x}(t) + B_i u(t) + L_i C e)$$

Multimodèle

$$\dot{x} = \sum_{i=1}^r \mu_i(\mathbf{x}) (A_i x + B_i u) \quad y = Cx$$

Observateur

$$\begin{aligned} \dot{\hat{x}}(t) &= \sum_{i=1}^r \mu_i(\hat{x}) (A_i \hat{x}(t) + B_i u(t) + L_i (y(t) - \hat{y}(t))) \\ \hat{y}(t) &= C \hat{x}(t) \end{aligned}$$

Erreur d'estimation d'état

$$e(t) = x(t) - \hat{x}(t)$$

$$\dot{e}(t) = \sum_{i=1}^r \mu_i(\mathbf{x}) (A_i x + B_i u) - \sum_{i=1}^r \mu_i(\hat{x}) (A_i \hat{x}(t) + B_i u(t) + L_i C e)$$

Multimodèle

$$\dot{x} = \sum_{i=1}^r \mu_i(\mathbf{x}) (A_i x + B_i u) \quad y = Cx$$

Première forme équivalente

$$\dot{x}(t) = \sum_{i=1}^r \mu_i(\hat{x}(t)) (A_i x(t) + B_i u(t) + \omega(x, \hat{x}, u))$$

où

$$\omega(x, \hat{x}, u) = \sum_{i=1}^r (\mu_i(x(t)) - \mu_i(\hat{x}(t))) (A_i x(t) + B_i u(t))$$

Dans (Bergsten et al 2002), la synthèse de l'observateur est basée sur la condition

$$\|\omega(x, \hat{x}, u)\| < \alpha \|e(t)\|$$

Multimodèle

$$\dot{x} = \sum_{i=1}^r \mu_i(x) (A_i x + B_i u) \quad y = Cx$$

Deuxième forme équivalente

Afin de limiter les non-linéarités, on écrit les variations de modèle autour d'un modèle moyen linéaire

$$A_0 = \frac{1}{r} \sum_{i=1}^r A_i, \quad A_i = \bar{A}_i + A_0$$

Le système s'écrit alors :

$$\begin{aligned} \dot{x}(t) &= A_0 x(t) + \sum_{i=1}^r \mu_i(x(t)) (\bar{A}_i x(t) + B_i u(t)) \\ y(t) &= Cx(t) \end{aligned}$$

Multimodèle

$$\dot{x} = \sum_{i=1}^r \mu_i(x) (A_i x + B_i u) \quad y = Cx$$

Troisième forme

$$\dot{x}(t) = \sum_{i=1}^r \mu_i(\hat{x}) (A_i x(t) + B_i u(t)) + \sum_{i=1}^r (\mu_i(x) - \mu_i(\hat{x})) (A_i x(t) + B_i u(t))$$

$$\dot{x}(t) = \sum_{i=1}^r \sum_{j=1}^r \mu_i(x) \mu_j(\hat{x}) ((A_j + \Delta A_{ij})x + (B_j + \Delta B_{ij})u)$$

où :

$$\Delta A_{ij} = A_i - A_j, \quad \Delta B_{ij} = B_i - B_j, \quad i, j = 1, \dots, r$$

Multimodèle

$$\dot{x} = \sum_{i=1}^r \mu_i(x) (A_i x + B_i u) \quad y = Cx$$

Quatrième forme

$$\dot{x}(t) = \sum_{i=1}^r \mu_i(\hat{x}) ((A_i + \Delta A)x + (B_i + \Delta B)u)$$

où :

$$\Delta A = \mathcal{A} \Sigma_A(t) E_A, \quad \Delta B = \mathcal{B} \Sigma_B(t) E_B$$

$$\mathcal{A} = [A_1 \quad \dots \quad A_r], \quad \Sigma_A(t) = \begin{bmatrix} \delta_1 I_n & \dots & 0 \\ \vdots & \ddots & \vdots \\ 0 & \dots & \delta_r I_n \end{bmatrix}, \quad E_A = [I_n \quad \dots \quad I_n]^T$$

$$\mathcal{B} = [B_1 \quad \dots \quad B_r], \quad \Sigma_B = \begin{bmatrix} \delta_1 I_m & \dots & 0 \\ \vdots & \ddots & \vdots \\ 0 & \dots & \delta_r I_m \end{bmatrix}, \quad E_B = [I_m \quad \dots \quad I_m]^T$$

$$\delta_i = \mu_i(x) - \mu_i(\hat{x}) \quad -1 \leq \delta_i \leq 1$$

Multi-modèle

$$\begin{cases} \dot{x}(t) = A_0 x(t) + \sum_{i=1}^r \mu_i(x(t)) (\bar{A}_i x(t) + B_i u(t)) \\ y(t) = Cx(t) \end{cases}$$

Multi-observateur

$$\begin{cases} \dot{\hat{x}}(t) = A_0 \hat{x}(t) + \sum_{i=1}^r \mu_i(\hat{x}(t)) (\bar{A}_i \hat{x}(t) + B_i u(t) + L_i (y(t) - \hat{y}(t))) \\ \hat{y}(t) = C \hat{x}(t) \end{cases}$$

L'erreur d'estimation d'état est donnée par :

$$e(t) = x(t) - \hat{x}(t)$$

La dynamique de l'erreur d'estimation d'état est :

$$\dot{e}(t) = \sum_{i=1}^r \mu_i(\hat{x})(A_0 - L_i C)e + (\bar{A}_i(\mu_i(x)x - \mu_i(\hat{x})\hat{x}) + B_i(\mu_i(x) - \mu_i(\hat{x})))u$$

Hypothèses

Condition de Lipschitz de $\mu_i(x)$: $|\mu_i(x) - \mu_i(\hat{x})| \leq N_i |x - \hat{x}|$

Condition de Lipschitz de $\mu_i(x)x$: $|\mu_i(x)x - \mu_i(\hat{x})\hat{x}| \leq M_i |x - \hat{x}|$

Borne sur l'entrée du système $u(t)$: $\|u(t)\| \leq \beta_2$

Deuxième méthode de Lyapunov

Considérons la fonction candidate de Lyapunov $V(e(t))$, où $e(t)$ représente l'erreur d'estimation d'état

$$V(e(t)) = e(t)^T P e(t).$$

La convergence de l'erreur d'estimation d'état vers zéro est assurée si :

- 1 $V(e(t)) > 0, \forall t$ et $e(t) \neq 0$
- 2 $\dot{V}(e(t)) < 0, \forall t$ et $e(t) \neq 0$

Théorème 1 : Convergence asymptotique

L'erreur d'estimation d'état tend asymptotiquement vers zéro s'il existe des matrices $P = P^T > 0$, $Q = Q^T > 0$, K_i et des scalaires positifs λ_1 et λ_2 tels que :

$$A_0^T P + P A_0 - C^T K_i^T - K_i C < -Q$$

$$\begin{bmatrix} -Q + (\lambda_1 M_i^2 + \lambda_2 N_i^2 \beta_2^2) I & P \bar{A}_i & P B_i \\ \bar{A}_i^T P & -\lambda_1 I & 0 \\ B_i^T P & 0 & -\lambda_2 I \end{bmatrix} < 0$$

Les gains L_i sont déduits à partir de $L_i = P^{-1} K_i$.

Fonction de Lyapunov quadratique

$$V(e) = e^T P e$$

Dérivée de la fonction de Lyapunov

$$\begin{aligned} \dot{V} &= \sum_{i=1}^n \mu_i(\hat{x}) e^T \left((A_0 - L_i C)^T P + P(A_0 - L_i C) \right) e \\ &+ 2e^T P \bar{A}_i \delta_i + 2e^T P B_i \Delta_i \end{aligned}$$

avec :

$$\begin{aligned} \delta_i &= \mu_i(x)x - \mu_i(\hat{x})\hat{x} \\ \Delta_i &= (\mu_i(x) - \mu_i(\hat{x}))u \end{aligned}$$

Lemme

$$X^T Y + Y^T X \leq \lambda X^T X + \lambda^{-1} Y^T Y, \text{ avec } \lambda > 0$$

Fonction de Lyapunov quadratique

$$V(e) = e^T P e$$

Dérivée de la fonction de Lyapunov

$$\begin{aligned} \dot{V} &= \sum_{i=1}^n \mu_i(\hat{x}) e^T \left((A_0 - L_i C)^T P + P(A_0 - L_i C) \right) e \\ &+ 2e^T P \bar{A}_i \delta_i + 2e^T P B_i \Delta_i \end{aligned}$$

avec :

$$\begin{aligned} \delta_i &= \mu_i(x)x - \mu_i(\hat{x})\hat{x} \\ \Delta_i &= (\mu_i(x) - \mu_i(\hat{x}))u \end{aligned}$$

Lemme

$$X^T Y + Y^T X \leq \lambda X^T X + \lambda^{-1} Y^T Y, \text{ avec } \lambda > 0$$

Fonction de Lyapunov quadratique

$$V(e) = e^T P e$$

Dérivée de la fonction de Lyapunov

$$\begin{aligned} \dot{V} &= \sum_{i=1}^n \mu_i(\hat{x}) e^T \left((A_0 - L_i C)^T P + P(A_0 - L_i C) \right) e \\ &+ 2e^T P \bar{A}_i \delta_i + 2e^T P B_i \Delta_i \end{aligned}$$

avec :

$$\begin{aligned} \delta_i &= \mu_i(x)x - \mu_i(\hat{x})\hat{x} \\ \Delta_i &= (\mu_i(x) - \mu_i(\hat{x}))u \end{aligned}$$

Lemme

$$X^T Y + Y^T X \leq \lambda X^T X + \lambda^{-1} Y^T Y, \text{ avec } \lambda > 0$$

Dérivée de la fonction de Lyapunov

$$\begin{aligned} \dot{V} < \sum_{i=1}^n \mu_i(\hat{x}) e^T \left((A_0 - L_i C)^T P + P(A_0 - L_i C) \right) e \\ + \lambda_1^{-1} e^T P \bar{A}_i \bar{A}_i^T P e + \lambda_1 \delta_i^T \delta_i + \lambda_2^{-1} e^T P B_i B_i^T P e + \lambda_2 \Delta_i^T \Delta_i \end{aligned}$$

D'après les hypothèses de travail, on obtient

$$\begin{aligned} \dot{V} < \sum_{i=1}^n \mu_i(\hat{x}) e^T \left((A_0 - L_i C)^T P + P(A_0 - L_i C) \right) e \\ + \lambda_1^{-1} e^T P \bar{A}_i \bar{A}_i^T P e + \lambda_1 M_i^2 e^T e + \lambda_2^{-1} e^T P B_i B_i^T P e + \lambda_2 N_i^2 \beta_2^2 e^T e \end{aligned}$$

La négativité de \dot{V} est assurée si

$$(A_0 - L_i C)^T P + P(A_0 - L_i C) < -Q$$

et

$$-Q + \lambda_1^{-1} P \bar{A}_i \bar{A}_i^T P + (\lambda_1 M_i^2 + \lambda_2 N_i^2 \beta_2^2) I + \lambda_2^{-1} P B_i B_i^T P < 0$$

En appliquant le complément de Schur on obtient

$$\begin{bmatrix} (A_0 - L_i C)^T P + P(A_0 - L_i C) < -Q \\ -Q + (\lambda_1 M_i^2 + \lambda_2 N_i^2 \beta_2^2) I & P \bar{A}_i & P B_i \\ \bar{A}_i^T P & -\lambda_1 I & 0 \\ B_i^T P & 0 & -\lambda_2 I \end{bmatrix} < 0$$

Dérivée de la fonction de Lyapunov

$$\begin{aligned} \dot{V} < \sum_{i=1}^n \mu_i(\hat{x}) e^T \left((A_0 - L_i C)^T P + P(A_0 - L_i C) \right) e \\ + \lambda_1^{-1} e^T P \bar{A}_i \bar{A}_i^T P e + \lambda_1 \delta_i^T \delta_i + \lambda_2^{-1} e^T P B_i B_i^T P e + \lambda_2 \Delta_i^T \Delta_i \end{aligned}$$

D'après les hypothèses de travail, on obtient

$$\begin{aligned} \dot{V} < \sum_{i=1}^n \mu_i(\hat{x}) e^T \left((A_0 - L_i C)^T P + P(A_0 - L_i C) \right) e \\ + \lambda_1^{-1} e^T P \bar{A}_i \bar{A}_i^T P e + \lambda_1 M_i^2 e^T e + \lambda_2^{-1} e^T P B_i B_i^T P e + \lambda_2 N_i^2 \beta_2^2 e^T e \end{aligned}$$

La négativité de \dot{V} est assurée si

$$(A_0 - L_i C)^T P + P(A_0 - L_i C) < -Q$$

et

$$-Q + \lambda_1^{-1} P \bar{A}_i \bar{A}_i^T P + (\lambda_1 M_i^2 + \lambda_2 N_i^2 \beta_2^2) I + \lambda_2^{-1} P B_i B_i^T P < 0$$

En appliquant le complément de Schur on obtient

$$\begin{bmatrix} (A_0 - L_i C)^T P + P(A_0 - L_i C) < -Q & & & \\ -Q + (\lambda_1 M_i^2 + \lambda_2 N_i^2 \beta_2^2) I & P \bar{A}_i & P B_i & \\ \bar{A}_i^T P & -\lambda_1 I & 0 & \\ B_i^T P & 0 & -\lambda_2 I & \end{bmatrix} < 0$$

Dérivée de la fonction de Lyapunov

$$\begin{aligned} \dot{V} < \sum_{i=1}^n \mu_i(\hat{x}) e^T \left((A_0 - L_i C)^T P + P(A_0 - L_i C) \right) e \\ + \lambda_1^{-1} e^T P \bar{A}_i \bar{A}_i^T P e + \lambda_1 \delta_i^T \delta_i + \lambda_2^{-1} e^T P B_i B_i^T P e + \lambda_2 \Delta_i^T \Delta_i \end{aligned}$$

D'après les hypothèses de travail, on obtient

$$\begin{aligned} \dot{V} < \sum_{i=1}^n \mu_i(\hat{x}) e^T \left((A_0 - L_i C)^T P + P(A_0 - L_i C) \right) e \\ + \lambda_1^{-1} e^T P \bar{A}_i \bar{A}_i^T P e + \lambda_1 M_i^2 e^T e + \lambda_2^{-1} e^T P B_i B_i^T P e + \lambda_2 N_i^2 \beta_2^2 e^T e \end{aligned}$$

La négativité de \dot{V} est assurée si

$$(A_0 - L_i C)^T P + P(A_0 - L_i C) < -Q$$

et

$$-Q + \lambda_1^{-1} P \bar{A}_i \bar{A}_i^T P + (\lambda_1 M_i^2 + \lambda_2 N_i^2 \beta_2^2) I + \lambda_2^{-1} P B_i B_i^T P < 0$$

En appliquant le complément de Schur on obtient

$$\begin{bmatrix} (A_0 - L_i C)^T P + P(A_0 - L_i C) < -Q \\ -Q + (\lambda_1 M_i^2 + \lambda_2 N_i^2 \beta_2^2) I & P \bar{A}_i & P B_i \\ \bar{A}_i^T P & -\lambda_1 I & 0 \\ B_i^T P & 0 & -\lambda_2 I \end{bmatrix} < 0$$

Dérivée de la fonction de Lyapunov

$$\begin{aligned} \dot{V} < \sum_{i=1}^n \mu_i(\hat{x}) e^T \left((A_0 - L_i C)^T P + P(A_0 - L_i C) \right) e \\ + \lambda_1^{-1} e^T P \bar{A}_i \bar{A}_i^T P e + \lambda_1 \delta_i^T \delta_i + \lambda_2^{-1} e^T P B_i B_i^T P e + \lambda_2 \Delta_i^T \Delta_i \end{aligned}$$

D'après les hypothèses de travail, on obtient

$$\begin{aligned} \dot{V} < \sum_{i=1}^n \mu_i(\hat{x}) e^T \left((A_0 - L_i C)^T P + P(A_0 - L_i C) \right) e \\ + \lambda_1^{-1} e^T P \bar{A}_i \bar{A}_i^T P e + \lambda_1 M_i^2 e^T e + \lambda_2^{-1} e^T P B_i B_i^T P e + \lambda_2 N_i^2 \beta_2^2 e^T e \end{aligned}$$

La négativité de \dot{V} est assurée si

$$(A_0 - L_i C)^T P + P(A_0 - L_i C) < -Q$$

et

$$-Q + \lambda_1^{-1} P \bar{A}_i \bar{A}_i^T P + (\lambda_1 M_i^2 + \lambda_2 N_i^2 \beta_2^2) I + \lambda_2^{-1} P B_i B_i^T P < 0$$

En appliquant le complément de Schur on obtient

$$\begin{bmatrix} (A_0 - L_i C)^T P + P(A_0 - L_i C) < -Q \\ -Q + (\lambda_1 M_i^2 + \lambda_2 N_i^2 \beta_2^2) I & P \bar{A}_i & P B_i \\ \bar{A}_i^T P & -\lambda_1 I & 0 \\ B_i^T P & 0 & -\lambda_2 I \end{bmatrix} < 0$$

Changement de variable

$$K_i = PL_i$$

Les inégalités linéaires matricielles suivantes sont obtenues

$$A_0^T P + PA_0 - C^T K_i^T - K_i C < -Q$$

$$\begin{bmatrix} -Q + (\lambda_1 M_i^2 + \lambda_2 N_i^2 \beta_2^2) I & P \bar{A}_i & P B_i \\ \bar{A}_i^T P & -\lambda_1 I & 0 \\ B_i^T P & 0 & -\lambda_2 I \end{bmatrix} < 0$$

Changement de variable

$$K_i = PL_i$$

Les inégalités linéaires matricielles suivantes sont obtenues

$$A_0^T P + PA_0 - C^T K_i^T - K_i C < -Q$$

$$\begin{bmatrix} -Q + (\lambda_1 M_i^2 + \lambda_2 N_i^2 \beta_2^2) I & P\bar{A}_i & PB_i \\ \bar{A}_i^T P & -\lambda_1 I & 0 \\ B_i^T P & 0 & -\lambda_2 I \end{bmatrix} < 0$$

Hypothèses

Condition de Lipschitz de $\mu_i(\mathbf{x})$: $|\mu_i(\mathbf{x}) - \mu_i(\hat{\mathbf{x}})| \leq N_i |\mathbf{x} - \hat{\mathbf{x}}|$

Condition de Lipschitz de $\mu_i(\mathbf{x})\mathbf{x}$: $|\mu_i(\mathbf{x})\mathbf{x} - \mu_i(\hat{\mathbf{x}})\hat{\mathbf{x}}| \leq M_i |\mathbf{x} - \hat{\mathbf{x}}|$

Borne sur l'entrée du système $u(t)$: $\|u(t)\| \leq \beta_2$

Hypothèses

Condition de Lipschitz de $\mu_i(x)$: $|\mu_i(x) - \mu_i(\hat{x})| \leq N_i |x - \hat{x}|$

Condition de Lipschitz de $\mu_i(x)x$: $|\mu_i(x)x - \mu_i(\hat{x})\hat{x}| \leq M_i |x - \hat{x}|$

Borne sur l'entrée du système $u(t)$: $\|u(t)\| \leq \beta_2$

Hypothèses

Condition de Lipschitz de $\mu_j(x)$: $|\mu_j(x) - \mu_j(\hat{x})| \leq N_j |x - \hat{x}|$

Condition de Lipschitz de $\mu_j(x)x$: $|\mu_j(x)x - \mu_j(\hat{x})\hat{x}| \leq M_j |x - \hat{x}|$

Borne sur l'entrée du système $u(t)$: $\|u(t)\| \leq \beta_2$

Hypothèses

Condition de Lipschitz de $\mu_j(x)$: $|\mu_j(x) - \mu_j(\hat{x})| \leq N_j |x - \hat{x}|$

Condition de Lipschitz de $\mu_j(x)x$: $|\mu_j(x)x - \mu_j(\hat{x})\hat{x}| \leq M_j |x - \hat{x}|$

Borne sur l'entrée du système $u(t)$: $\|u(t)\| \leq \beta_2$

Objectif

Proposer une méthode prenant en compte une classe plus générale de fonction d'activation $\mu_j(x)$.

Multimodèle

$$\dot{x} = \sum_{i=1}^r \mu_i(x) (A_i x + B_i u) \quad y = Cx$$

Multimodèle

$$\dot{x} = \sum_{i=1}^r \mu_i(x) (A_i x + B_i u) \quad y = Cx$$

Ré-écriture du multimodèle sous forme de multimodèle incertain

$$\dot{x}(t) = \sum_{i=1}^r \mu_i(\hat{x}) (A_i x + B_i u) + \sum_{i=1}^r \underbrace{(\mu_i(x) - \mu_i(\hat{x}))}_{\delta_i} (A_i x + B_i u)$$

Multimodèle

$$\dot{x} = \sum_{i=1}^r \mu_i(x) (A_i x + B_i u) \quad y = Cx$$

Ré-écriture du multimodèle sous forme de multimodèle incertain

$$\dot{x}(t) = \sum_{i=1}^r \mu_i(\hat{x}) ((A_i + \Delta A)x(t) + (B_i + \Delta B)u(t)), \quad \Delta A = \mathcal{A}\Sigma(t)_A E_A, \quad \Delta B = \mathcal{B}\Sigma(t)_B E_B$$

$$\mathcal{A} = [A_1 \quad \dots \quad A_r], \Sigma_A(t) = \begin{bmatrix} \delta_1 I_n & \dots & 0 \\ \vdots & \ddots & \vdots \\ 0 & \dots & \delta_r I_n \end{bmatrix}, E_A = [I_n \quad \dots \quad I_n]^T$$

$$\mathcal{B} = [B_1 \quad \dots \quad B_r], \Sigma_B = \begin{bmatrix} \delta_1 I_m & \dots & 0 \\ \vdots & \ddots & \vdots \\ 0 & \dots & \delta_r I_m \end{bmatrix}, E_B = [I_m \quad \dots \quad I_m]^T$$

$$0 \leq \mu_i(x) \leq 1 \Rightarrow -1 \leq \delta_i \leq 1 \Rightarrow \Sigma_A^T \Sigma_A < I, \quad \Sigma_B^T \Sigma_B < I$$

Multimodèle

$$\dot{x} = \sum_{i=1}^r \mu_i(x) (A_i x + B_i u) \quad y = Cx$$

Ré-écriture du multimodèle sous forme de multimodèle incertain

$$\dot{x}(t) = \sum_{i=1}^r \mu_i(\hat{x}) ((A_i + \Delta A)x(t) + (B_i + \Delta B)u(t)), \quad \Delta A = \mathcal{A}\Sigma(t)\mathcal{A}E_A, \quad \Delta B = \mathcal{B}\Sigma(t)\mathcal{B}E_B$$

$$\mathcal{A} = [A_1 \quad \dots \quad A_r], \Sigma_A(t) = \begin{bmatrix} \delta_1 I_n & \dots & 0 \\ \vdots & \ddots & \vdots \\ 0 & \dots & \delta_r I_n \end{bmatrix}, E_A = [I_n \quad \dots \quad I_n]^T$$

$$\mathcal{B} = [B_1 \quad \dots \quad B_r], \Sigma_B = \begin{bmatrix} \delta_1 I_m & \dots & 0 \\ \vdots & \ddots & \vdots \\ 0 & \dots & \delta_r I_m \end{bmatrix}, E_B = [I_m \quad \dots \quad I_m]^T$$

$$0 \leq \mu_i(x) \leq 1 \Rightarrow -1 \leq \delta_i \leq 1 \Rightarrow \Sigma_A^T \Sigma_A < I, \quad \Sigma_B^T \Sigma_B < I$$

Multimodèle

$$\dot{x} = \sum_{i=1}^r \mu_i(x) (A_i x + B_i u) \quad y = Cx$$

Ré-écriture du multimodèle sous forme de multimodèle incertain

$$\dot{x}(t) = \sum_{i=1}^r \mu_i(\hat{x}) ((A_i + \Delta A)x(t) + (B_i + \Delta B)u(t)), \quad \Delta A = \mathcal{A}\Sigma(t)\mathcal{A}E_A, \quad \Delta B = \mathcal{B}\Sigma(t)\mathcal{B}E_B$$

$$\mathcal{A} = [A_1 \quad \dots \quad A_r], \Sigma_A(t) = \begin{bmatrix} \delta_1 I_n & \dots & 0 \\ \vdots & \ddots & \vdots \\ 0 & \dots & \delta_r I_n \end{bmatrix}, E_A = [I_n \quad \dots \quad I_n]^T$$

$$\mathcal{B} = [B_1 \quad \dots \quad B_r], \Sigma_B = \begin{bmatrix} \delta_1 I_m & \dots & 0 \\ \vdots & \ddots & \vdots \\ 0 & \dots & \delta_r I_m \end{bmatrix}, E_B = [I_m \quad \dots \quad I_m]^T$$

$$0 \leq \mu_i(x) \leq 1 \Rightarrow -1 \leq \delta_i \leq 1 \Rightarrow \Sigma_A^T \Sigma_A < I, \Sigma_B^T \Sigma_B < I$$

Observateur

$$\begin{aligned}\dot{\hat{x}}(t) &= \sum_{i=1}^r \mu_i(\hat{x}(t)) (A_i \hat{x}(t) + B_i u(t) + L_i (y(t) - \hat{y}(t))) \\ \hat{y}(t) &= C \hat{x}(t)\end{aligned}$$

Erreur d'estimation d'état

$$e(t) = x(t) - \hat{x}(t)$$

$$\dot{e}(t) = \sum_{i=1}^r \mu_i(\hat{x}(t)) \left(\underbrace{(A_i - L_i C)}_{\Phi_i} e(t) + \Delta A x(t) + \Delta B u(t) \right)$$

$$\begin{pmatrix} \dot{e}(t) \\ \dot{\hat{x}}(t) \end{pmatrix} = \sum_{i=1}^r \sum_{j=1}^r \mu_i(\hat{x}(t)) \mu_j(x(t)) \left(\underbrace{\begin{pmatrix} A_i - L_i C & \Delta A \\ 0 & A_j \end{pmatrix}}_{\tilde{A}_{ij}} \underbrace{\begin{pmatrix} e(t) \\ x(t) \end{pmatrix}}_{e_a(t)} + \underbrace{\begin{pmatrix} \Delta B \\ B_j \end{pmatrix}}_{\tilde{B}_j} u(t) \right)$$

Approche utilisée

Considérons la fonction candidate de Lyapunov $V(e(t))$, où $e(t)$ représente l'erreur d'estimation d'état

$$V(e(t)) = e(t)^T P e(t).$$

Le problème à résoudre est d'assurer la convergence asymptotique de l'erreur d'estimation d'état si $u(t) = 0$:

$$\lim_{t \rightarrow \infty} e(t) = 0 \quad \text{pour } u(t) = 0$$

et assurer une erreur bornée dans le cas $u(t) \neq 0$:

$$\|e(t)\|_2 \leq \gamma \|u(t)\|_2 \quad \text{pour } u(t) \neq 0 \text{ et } e(0) = 0$$

Pour satisfaire ces contraintes, il suffit de trouver une fonction candidate de Lyapunov V telle que

$$\dot{V}(t) + e(t)^T e(t) - \gamma^2 u(t)^T u(t) < 0$$

Théorème 2

L'erreur d'estimation d'état converge vers zéro, et le gain \mathcal{L}_2 du transfert de $u(t)$ vers l'erreur d'estimation est borné, s'il existe deux matrices symétriques et définies positives P_1 et P_2 , des matrices K_i , et des scalaires positifs λ_2 , λ_3 et $\bar{\gamma}$ tels que les LMI suivantes soient vérifiées $\forall i, j \in \{1, \dots, r\}$:

$\min_{L_i, \lambda_1, \lambda_2, P_1, P_2, \bar{\gamma}}$ $\bar{\gamma}$ sous les contraintes LMI

$$\begin{bmatrix}
 \Psi_j & 0 & 0 & P_1 A & P_1 B \\
 0 & A_j^T P_2 + P_2 A_j + \lambda_2 E_A^T E_A & P_2 B_j & 0 & 0 \\
 0 & B_j^T P_2 & -\bar{\gamma} I + \lambda_3 E_B^T E_B & 0 & 0 \\
 A^T P_1 & 0 & 0 & -\lambda_2 I & 0 \\
 B^T P_1 & 0 & 0 & 0 & -\lambda_2 I
 \end{bmatrix} < 0$$

où :

$$\Psi_j = A_j^T P_1 + P_1 A_j - K_j C - C^T K_j^T + I$$

Les gains de l'observateur sont calculés par :

$$L_i = P_1^{-1} K_i$$

Le taux d'atténuation γ est calculé par :

$$\gamma = \sqrt{\bar{\gamma}}$$

- 1 Sur l'approche multimodèle
 - Modèle de Takagi-Sugeno (T-S)
 - Modèle de Takagi-Sugeno à variables de décision non mesurables (VDNM)

- 2 Estimation d'état basée sur un modèle T-S à VDNM
 - Première approche
 - Deuxième approche

- 3 Estimation d'état et d'entrées inconnues
 - Observateur Proportionnel Intégral (PI)

- 4 Diagnostic
 - Détection et localisation des défauts affectant le système

- 5 Conclusions

Multimodèle

$$\dot{x} = \sum_{i=1}^r \mu_i(x) (A_i x + B_i u + E_i d) \quad y = Cx + Dd$$

Hypothèse

$$\dot{d}(t) = 0$$

Multimodèle

$$\dot{x} = \sum_{i=1}^r \mu_i(x) (A_i x + B_i u + E_i d) \quad y = Cx + Dd$$

Hypothèse

$$\dot{d}(t) = 0$$

Ré-écriture du multimodèle

$$\dot{x}_a = \sum_{i=1}^r \mu_i(\hat{x}) (\bar{A}_i x_a + \bar{B}_i u + \Gamma v) \quad y = \bar{C} x_a$$

où :

$$x_a = \begin{bmatrix} x \\ d \end{bmatrix}, \bar{A}_i = \begin{bmatrix} A_i & E_i \\ 0 & 0 \end{bmatrix}, \bar{B}_i = \begin{bmatrix} B_i \\ 0 \end{bmatrix}, \bar{C} = [C \quad D], \Gamma = \begin{bmatrix} I \\ 0 \end{bmatrix}$$

$$v = \sum_{i=1}^r (\mu_i(x) - \mu_i(\hat{x})) (A_i x + B_i u + E_i d)$$

Multimodèle

$$\dot{x} = \sum_{i=1}^r \mu_i(\mathbf{x}) (A_i x + B_i u + E_i d) \quad y = Cx + Dd$$

Multimodèle

$$\dot{x} = \sum_{i=1}^r \mu_i(\hat{x}) (A_i x + B_i u + E_i d) \quad y = Cx + Dd$$

Structure du multi-observateur PI

$$\dot{\hat{x}} = \sum_{i=1}^r \mu_i(\hat{x}) (A_i \hat{x} + B_i u + E_i \hat{f} + K_{Pi}(y - \hat{y}))$$

$$\dot{\hat{f}} = \sum_{i=1}^r \mu_i(\hat{x}) K_{Ii}(y - \hat{y})$$

$$\dot{\hat{x}}_a = \sum_{i=1}^r \mu_i(\hat{x}) (\bar{A}_i \hat{x}_a + \bar{B}_i u + K_i(y - \hat{y}))$$

$$\hat{y} = \bar{C} \hat{x}_a$$

$$K_i = \begin{bmatrix} K_{Pi} \\ K_{Ii} \end{bmatrix}, \quad \hat{x}_a = \begin{bmatrix} \hat{x} \\ \hat{d} \end{bmatrix}$$

Multimodèle

$$\dot{x} = \sum_{i=1}^r \mu_i(x) (A_i x + B_i u + E_i d) \quad y = Cx + Dd$$

Structure du multi-observateur PI

$$\dot{\hat{x}} = \sum_{i=1}^r \mu_i(\hat{x}) (A_i \hat{x} + B_i u + E_i \hat{f} + K_{Pi}(y - \hat{y}))$$

$$\dot{\hat{f}} = \sum_{i=1}^r \mu_i(\hat{x}) K_{Ii}(y - \hat{y})$$

$$\dot{\hat{x}}_a = \sum_{i=1}^r \mu_i(\hat{x}) (\bar{A}_i \hat{x}_a + \bar{B}_i u + K_i(y - \hat{y}))$$

$$\hat{y} = \bar{C} \hat{x}_a$$

$$K_i = \begin{bmatrix} K_{Pi} \\ K_{Ii} \end{bmatrix}, \quad \hat{x}_a = \begin{bmatrix} \hat{x} \\ \hat{d} \end{bmatrix}$$

Erreur d'estimation

$$\dot{e}_a = \sum_{i=1}^r \mu_i(\hat{x}) ((\bar{A}_i - K_i \bar{C}) e_a + \Gamma v)$$

Perturbation

$$v = \sum_{i=1}^r (\mu_i(x) - \mu_i(\hat{x})) (A_i x + B_i u + E_i d)$$

Hypothèse de travail

$$|v| < \gamma |e|$$

Théorème 3

- L'erreur d'estimation d'état (entre le multi-observateur et le multimodèle augmenté) converge asymptotiquement, s'il existe une matrice symétrique et définie positive X , des matrices M_i et un scalaire positif λ tels :

$$\begin{bmatrix} \bar{A}_i^T X + X \bar{A}_i - M_i \bar{C} - \bar{C}^T M_i + \lambda \gamma^2 I & X \Gamma \\ X \Gamma^T & -\lambda I \end{bmatrix} < 0, \quad i = 1, \dots, r$$

- Les gains de l'observateur sont donnés par :

$$K_i = X^{-1} M_i$$

- Dynamique de l'erreur d'estimation d'état :

$$\dot{e}_a = \sum_{i=1}^r \mu_i(\hat{x}) ((\bar{A}_i - K_i \bar{C}) e_a + \Gamma v)$$

- Analyse de l'erreur (fonction de Lyapunov) :

$$V(t) = e_a(t)^T X e_a(t), \quad X = X^T > 0$$

- La dérivée de la fonction de Lyapunov est donnée par :

$$\begin{aligned} \dot{V}(t) &= \sum_{i=1}^r \mu_i(\hat{x}(t)) (e(t)^T ((\bar{A}_i - K_i \bar{C})^T X + X(\bar{A}_i - K_i \bar{C})) e(t) \\ &+ e(t)^T X P v(t) + v(t)^T P^T X e(t)) \end{aligned}$$

- Soit deux matrices X et Y de dimensions appropriées, alors la propriété suivante est vérifiée :

$$X^T Y + Y^T X \leq \lambda X^T X + \lambda^{-1} Y^T Y, \quad \lambda > 0$$

- Dynamique de l'erreur d'estimation d'état :

$$\dot{e}_a = \sum_{i=1}^r \mu_i(\hat{x}) ((\bar{A}_i - K_i \bar{C}) e_a + \Gamma v)$$

- Analyse de l'erreur (fonction de Lyapunov) :

$$V(t) = e_a(t)^T X e_a(t), \quad X = X^T > 0$$

- La dérivée de la fonction de Lyapunov est donnée par :

$$\begin{aligned} \dot{V}(t) &= \sum_{i=1}^r \mu_i(\hat{x}(t)) (e(t)^T ((\bar{A}_i - K_i \bar{C})^T X + X(\bar{A}_i - K_i \bar{C})) e(t) \\ &+ e(t)^T X P v(t) + v(t)^T P^T X e(t)) \end{aligned}$$

- Soit deux matrices X et Y de dimensions appropriées, alors la propriété suivante est vérifiée :

$$X^T Y + Y^T X \leq \lambda X^T X + \lambda^{-1} Y^T Y, \quad \lambda > 0$$

- Dynamique de l'erreur d'estimation d'état :

$$\dot{e}_a = \sum_{i=1}^r \mu_i(\hat{x}) ((\bar{A}_i - K_i \bar{C}) e_a + \Gamma v)$$

- Analyse de l'erreur (fonction de Lyapunov) :

$$V(t) = e_a(t)^T X e_a(t), \quad X = X^T > 0$$

- La dérivée de la fonction de Lyapunov est donnée par :

$$\begin{aligned} \dot{V}(t) &= \sum_{i=1}^r \mu_i(\hat{x}(t)) (e(t)^T ((\bar{A}_i - K_i \bar{C})^T X + X(\bar{A}_i - K_i \bar{C})) e(t) \\ &+ e(t)^T X P v(t) + v(t)^T P^T X e(t)) \end{aligned}$$

- Soit deux matrices X et Y de dimensions appropriées, alors la propriété suivante est vérifiée :

$$X^T Y + Y^T X \leq \lambda X^T X + \lambda^{-1} Y^T Y, \quad \lambda > 0$$

- Dynamique de l'erreur d'estimation d'état :

$$\dot{e}_a = \sum_{i=1}^r \mu_i(\hat{x}) ((\bar{A}_i - K_i \bar{C}) e_a + \Gamma v)$$

- Analyse de l'erreur (fonction de Lyapunov) :

$$V(t) = e_a(t)^T X e_a(t), \quad X = X^T > 0$$

- La dérivée de la fonction de Lyapunov est donnée par :

$$\begin{aligned} \dot{V}(t) &= \sum_{i=1}^r \mu_i(\hat{x}(t)) (e(t)^T ((\bar{A}_i - K_i \bar{C})^T X + X(\bar{A}_i - K_i \bar{C})) e(t) \\ &+ e(t)^T X P v(t) + v(t)^T P^T X e(t)) \end{aligned}$$

- Soit deux matrices X et Y de dimensions appropriées, alors la propriété suivante est vérifiée :

$$X^T Y + Y^T X \leq \lambda X^T X + \lambda^{-1} Y^T Y, \quad \lambda > 0$$

- ▶ Extension des approches proposées dans la section 2 à l'observateur PI
- ▶ Considération d'entrées inconnues plus générales de formes polynomiales :

$$d(t) = a_0 + a_1 t + \dots + a_q t^q$$

⇒ Utilisation d'un observateur Proportionnel Multi-Integral (PMI)

- ▶ Relaxation de l'hypothèse de travail

$$|v| < \gamma |e|$$

par l'hypothèse

$$|v| < \rho$$

- 1 Sur l'approche multimodèle
 - Modèle de Takagi-Sugeno (T-S)
 - Modèle de Takagi-Sugeno à variables de décision non mesurables (VDNM)

- 2 Estimation d'état basée sur un modèle T-S à VDNM
 - Première approche
 - Deuxième approche

- 3 Estimation d'état et d'entrées inconnues
 - Observateur Proportionnel Intégral (PI)

- 4 **Diagnostic**
 - **Détection et localisation des défauts affectant le système**

- 5 Conclusions

Objectif

- ▶ Utilisation des observateurs pour la génération de signaux sensibles aux défauts
- ▶ Résidus obtenus par comparaison entre les mesures et leurs estimées
- ▶ Structuration des résidus à l'aide d'un banc d'observateurs
- ▶ Logique de décision (table des signatures théoriques)

- Considérons le multimodèle :

$$\begin{cases} \dot{x}(t) = \sum_{i=1}^r \mu_i(x(t)) (A_i x(t) + B_i u(t)) \\ y(t) = Cx(t) + W\omega(t) \end{cases}$$

avec :

$$A_1 = \begin{bmatrix} -2 & 1 & 1 \\ 1 & -3 & 0 \\ 2 & 1 & -8 \end{bmatrix}, A_2 = \begin{bmatrix} -3 & 2 & -2 \\ 5 & -3 & 0 \\ 1 & 2 & -4 \end{bmatrix}, B_1 = \begin{bmatrix} 5 & 7 \\ 5 & 5 \\ 1 & 2 \end{bmatrix}, B_2 = \begin{bmatrix} 6 & 6 \\ 3 & 3 \\ 2 & 1 \end{bmatrix}$$

$$C = \begin{bmatrix} 1 & 1 & 1 \\ 1 & 0 & 1 \end{bmatrix}, W = \begin{bmatrix} 0.5 \\ 0.5 \end{bmatrix}$$

- Fonctions d'activation :

$$\begin{cases} \mu_1(x) = \frac{1 - \tanh((x_1 - 44)/11)}{2} \\ \mu_2(x) = 1 - \mu_1(x) \end{cases}$$

- Bruit de mesure $\omega(t)$, centré et d'amplitude maximale 0.5.

$$\begin{cases} \dot{x}(t) = \sum_{i=1}^r \mu_i(x(t)) (A_i x(t) + B_i^1 u_1(t) + B_i^2 u_2(t)) \\ y(t) = Cx(t) + W\omega(t) \end{cases}$$

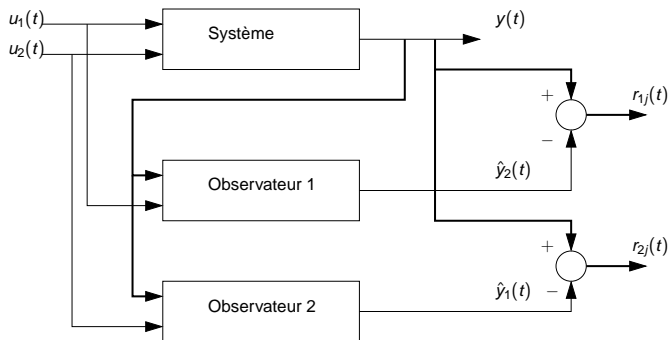


FIG.: Schéma de détection et localisation de défauts d'actionneurs

- Génération des défauts

$$f_1(t) = \begin{cases} 0.4u_1(t) & 15 < t < 25 \\ 0 & \text{ailleurs} \end{cases} \quad f_2(t) = \begin{cases} 0.4u_2(t) & 35 < t < 45 \\ 0 & \text{ailleurs} \end{cases}$$

- Calcul des résidus à partir de l'observateur et des mesures

$$r_{ij}(t) = y_j(t) - \hat{y}_j^i(t)$$

où $j \in \{1, 2\}$ désigne le numéro de l'observateur
et $i \in \{1, 2\}$ désigne le numéro de la sortie.

- Table de signatures théoriques des défauts actionneur

| | Observateur 1 | | Observateur 2 | |
|------------------------|---------------|----------|---------------|----------|
| | r_{11} | r_{21} | r_{12} | r_{22} |
| défaut f_1 sur u_1 | × | × | ~ 0 | ~ 0 |
| défaut f_2 sur u_2 | ~ 0 | ~ 0 | × | × |

- ▶ Génération des défauts

$$f_1(t) = \begin{cases} 0.4u_1(t) & 15 < t < 25 \\ 0 & \text{ailleurs} \end{cases} \quad f_2(t) = \begin{cases} 0.4u_2(t) & 35 < t < 45 \\ 0 & \text{ailleurs} \end{cases}$$

- ▶ Calcul des résidus à partir de l'observateur et des mesures

$$r_{ij}(t) = y_j(t) - \hat{y}_j^i(t)$$

où $j \in \{1, 2\}$ désigne le numéro de l'observateur
et $i \in \{1, 2\}$ désigne le numéro de la sortie.

- ▶ Table de signatures théoriques des défauts actionneur

| | Observateur 1 | | Observateur 2 | |
|------------------------|---------------|----------|---------------|----------|
| | r_{11} | r_{21} | r_{12} | r_{22} |
| défaut f_1 sur u_1 | × | × | ~ 0 | ~ 0 |
| défaut f_2 sur u_2 | ~ 0 | ~ 0 | × | × |

- Génération des défauts

$$f_1(t) = \begin{cases} 0.4u_1(t) & 15 < t < 25 \\ 0 & \text{ailleurs} \end{cases} \quad f_2(t) = \begin{cases} 0.4u_2(t) & 35 < t < 45 \\ 0 & \text{ailleurs} \end{cases}$$

- Calcul des résidus à partir de l'observateur et des mesures

$$r_{ij}(t) = y_j(t) - \hat{y}_j^i(t)$$

où $j \in \{1, 2\}$ désigne le numéro de l'observateur
et $i \in \{1, 2\}$ désigne le numéro de la sortie.

- Table de signatures théoriques des défauts actionneur

| | Observateur 1 | | Observateur 2 | |
|------------------------|---------------|----------|---------------|----------|
| | r_{11} | r_{21} | r_{12} | r_{22} |
| défaut f_1 sur u_1 | × | × | ~ 0 | ~ 0 |
| défaut f_2 sur u_2 | ~ 0 | ~ 0 | × | × |

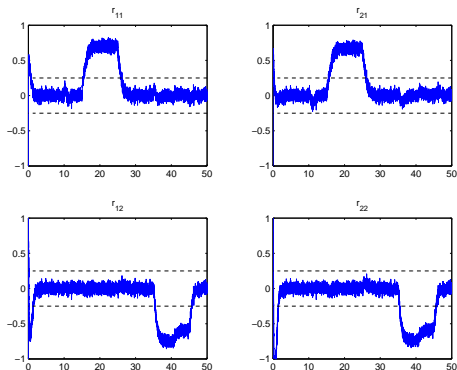


FIG.: Résidus en présence des défauts f_1 et f_2

$$f_1(t) = \begin{cases} 0.3 & 10 < t < 20 \\ 0 & \text{ailleurs} \end{cases} \quad f_2(t) = \begin{cases} 0.3 & 30 < t < 40 \\ 0 & \text{ailleurs} \end{cases}$$

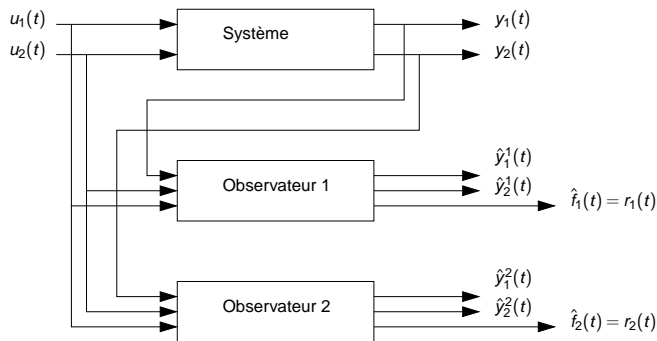


FIG.: Schéma de détection et localisation de défauts de capteurs

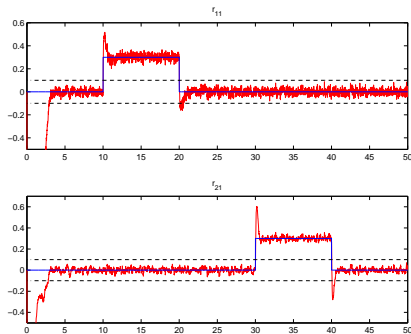


FIG.: Résidus en présence des défauts capteurs f_1 et f_2

- 1 Sur l'approche multimodèle
 - Modèle de Takagi-Sugeno (T-S)
 - Modèle de Takagi-Sugeno à variables de décision non mesurables (VDNM)

- 2 Estimation d'état basée sur un modèle T-S à VDNM
 - Première approche
 - Deuxième approche

- 3 Estimation d'état et d'entrées inconnues
 - Observateur Proportionnel Intégral (PI)

- 4 Diagnostic
 - Détection et localisation des défauts affectant le système

- 5 Conclusions

Conclusions

Estimation d'état et d'entrées inconnues pour des systèmes non linéaires représentés par des modèles de Takagi-Sugeno à variables de décision non mesurables

- ▶ Proposition de différentes approches pour l'estimation d'état et d'entrées inconnues.
- ▶ Utilisation des observateurs proposés dans un contexte de diagnostic par bancs d'observateurs.

Travaux en cours

- ▶ Nouvelles conditions d'existence de l'observateur (Utilisation de fonctions de Lyapunov non quadratiques)
- ▶ Utilisation du bloc de détection, isolation et estimation des défauts pour la conception de commande tolérante aux défauts.

Perspectives

Nombreuses pistes à étudier...

- ▶ Considération de formes d'entrées inconnues plus générales.
- ▶ Détermination des seuils de détection pour la génération de signaux d'alarme (seuils adaptatifs...).
- ▶ Application au projet SIRASAS.

merci pour votre attention